

ESP

OSP

maleki@znu.ac.ir :

(دریافت مقاله: ۱۳۹۱/۷/۲۹؛ دریافت نسخه نهایی: ۱۳۹۲/۵/۲)

ESP OSP

ESP

OSP

خود نشان می‌دهد [۱، ۵ و ۶]. این رفتار به خاطر حضور میدان تبادلی فرومغناطیس است که به صورت یک پتانسیل با علامت‌های مخالف برای دو الکترون از یک جفت کوپر عمل می‌کند [۷]. در این مقاله میزان نفوذ پارامتر نظم ابررسانایی با همبستگی‌های یک‌تایی، سه‌تایی OSP^۱ و سه‌تایی ESP^۲ به داخل فلزهای عادی و فرومغناطیس با هم مقایسه می‌گردد.

مطابق شکل ۱، یک لایه فلز فرومغناطیس از یک طرف با یک ابررسانا و از طرف دیگر توسط یک عایق محدود شده است. ضخامت لایه فرومغناطیس برابر D می‌باشد. میدان تبادلی

فیزیک سیستم‌های ابررسانا- فرومغناطیس غنی‌تر از اتصال‌های فلز عادی- ابررسانا است و در سال‌های اخیر به طور گستردۀ مورد مطالعه قرار گرفته است [۸-۱۰] ابررسانایی و فرومغناطیس نظم‌هایی مخالف و رقیب هم می‌باشند. ابررسانایی آرایش پادموازی اسپینی را برای الکترون‌ها در جفت‌های کوپر ترجیح می‌دهد ولی نظم فرومغناطیسی تمامی اسپین‌ها را به هم جهت بودن با یکدیگر مجبور می‌کند. بنابراین هم‌زیستی این دو نظم تنها در نزدیکی فصل مشترک‌ها در سیستم‌های ابررسانا- فرومغناطیس صورت می‌گیرد. برخلاف سیستم‌های فلز عادی- ابررسانا که در آنها پارامتر نظم ابررسانایی در داخل فلز عادی به صورت نمایی با فاصله از فصل مشترک افت می‌کند، پارامتر نظم ابررسانایی در سیستم‌های ابررسانا- فرومغناطیس ضمن افت، رفتاری نوسانی از

۱. Opposite Spin Pairing

۲. Equal Spin Pairing

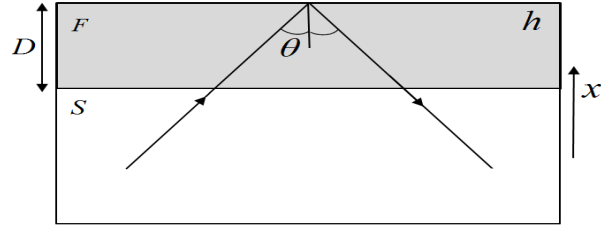
با \hat{f} و \hat{f}^\dagger نمایش داده شده‌اند، تابع‌های گرین غیرعادی نامیده می‌شوند. ماتریس تابع گرین به فرکانس ماتسوبارا ω_n جهت سرعت فرمی \tilde{v}_F و مکان \tilde{r} بستگی دارد و در شرط بهنجارش $\tilde{\alpha} = \tilde{G}^2$ صدق می‌کند. $\hat{\tau}_+$ و $\hat{\sigma}_+$ ماتریس‌های واحد هستند. $\hat{\tau}_-$ و $\hat{\sigma}_-$ ماتریس‌های پائولی، به ترتیب، در فضاهای نامبو و اسپین می‌باشند. ماتریس تابع گاف ابررسانایی $\hat{\Delta}$ با تقارن ترکیبی از مؤلفه‌های یکتایی و سه‌تایی به صورت

$$\hat{\Delta} = \begin{pmatrix} \cdot & (d_+ + \bar{d} \cdot \hat{\sigma}_+) \hat{\sigma}_+ \\ -i\hat{\sigma}_-(d_-^* + \bar{d}^* \cdot \hat{\sigma}_-) & \cdot \end{pmatrix}, \quad (3)$$

است که در آن d_+ و \bar{d} ، به ترتیب مؤلفه‌های یکتایی (عددی) و سه‌تایی (برداری) ماتریس گاف ابررسانایی می‌باشند. برای سادگی در انجام محاسبه‌ها، از شرط خودسازگاری تابع گاف ابررسانایی صرف نظر می‌گردد [۹]. معادله آیلنبرگر را در امتداد یک مسیر کلاسیک الکترونی حل می‌کنیم. برای سادگی انکاس از سطح عایق را منظم در نظر می‌گیریم. بنابراین جهت‌های شاخه‌های فروندی و بازگشتی مسیر نسبت به هم کاملاً همبسته هستند [۳].

جفت‌شدگی در ناحیه ابررسانا به سه صورت جفت‌شدگی یکتایی، سه‌تایی OSP و سه‌تایی ESP در نظر گرفته می‌شود. اگر ابررسانایی از نوع جفت‌شدگی یکتایی باشد ماتریس گاف ابررسانایی را با حذف مؤلفه‌های سه‌تایی در نظر می‌گیریم. برای جفت‌شدگی ابررسانایی از نوع سه‌تایی OSP، بردار گاف \bar{d} با میدان تبادلی \bar{h} هم امتداد است. برای جفت‌شدگی سه‌تایی ESP بردار گاف \bar{d} بر میدان تبادلی \bar{h} عمود می‌باشد. در حالت کلی، $\bar{d} \times \bar{d}^*$ حاصل ضرب به خاطر موهومی بودن بردار گاف \bar{d} ، حاصل ضرب $\bar{d} \times \bar{d}^*$ غیرصفر است. در حالت خاص، اگر $\bar{d} \times \bar{d}^* = 0$ باشد، ابررسانایی سه‌تایی از نوع عادی یا یکانی است. فرض می‌کنیم که ابررساناهای سه‌تایی مسئله از نوع یکانی باشند [۹ و ۱۲].

در هر سه حالت جفت‌شدگی، روش تحلیلی حل مسئله یکسان می‌باشد. با در نظر گرفتن معادله آیلنبرگر، و با استفاده از ماتریس تابع گرین و ماتریس گاف ابررسانایی (معادله‌های (۱) تا (۳)) و با توجه به نوع جفت‌شدگی ابررسانایی، معادله‌های آیلنبرگر را در ناحیه‌های ابررسانا و فرومغناطیس به دست می‌آوریم. جواب‌های معادله آیلنبرگر مقید به شرط‌های مرزی هستند. این



شکل ۱. تصویر شماتیک از یک ساختار لایه‌ای فرومغناطیس در تماس با یک ابررسانا.

ناحیه فرومغناطیس را با h مشخص می‌کنیم. میدان تبادلی در داخل ابررسانا $= 0$ است. در داخل فرومغناطیس، D ، بزرگ‌تر از طول موج است. ضخامت لایه فرومغناطیس، D ، بزرگ‌تر از مسیر پویش آزاد متوسط کشسان، فرمی λ_F و کوچک‌تر از مسیر پویش آزاد متوسط کشسان، i_{imp} ، می‌باشد که در نتیجه می‌توان از توصیف شبکه کلاسیکی در حد تمیز استفاده نمود. برای سادگی محاسبه‌ها، از تغییر خودسازگار پتانسیل جفت‌شدگی در نزدیکی فصل مشترک ابررسانا- فرومغناطیس چشم پوشی کرده و مسئله را به صورت یک مدل غیرخودسازگار برای پارامتر نظم حل می‌نماییم. برای پیکربندی اتصال ابررسانا- فرومغناطیس معادله آیلنبرگر در

فضای نامبو ضرب در اسپین^۱ به صورت

$$\tilde{v}_F \nabla \tilde{G} + [(\omega_n \hat{\tau}_- \otimes \hat{\sigma}_+ - i\hbar \hat{\tau}_+ \otimes \hat{\sigma}_-) + \hat{\Delta}, \tilde{G}] = 0, \quad (1)$$

نوشته می‌شود [۸]. در این مقاله ماتریس‌های 2×2 و 4×4 ، به ترتیب، به صورت‌های \hat{B} و \check{B} نشان داده شده‌اند. فضاهای نامبو و اسپین، به ترتیب، فضای ذره- حفره و فضای فرمیونی با اسپین $1/2$ می‌باشند. نمایش تابع گرین در هر کدام از این دو فضا، به طور مستقل، به شکل یک ماتریس 2×2 است. بنابراین نمایش تابع گرین در فضای نامبو ضرب در اسپین به صورت یک ماتریس 4×4 به شکل

$$\check{G} = \begin{pmatrix} g_{\uparrow\uparrow} & g_{\uparrow\downarrow} & f_{\uparrow\uparrow} & f_{\uparrow\downarrow} \\ g_{\downarrow\uparrow} & g_{\downarrow\downarrow} & -f_{\downarrow\uparrow} & f_{\downarrow\downarrow} \\ f_{\uparrow\uparrow}^{\dagger} & -f_{\uparrow\downarrow}^{\dagger} & g_{\uparrow\uparrow}^{\dagger} & g_{\uparrow\downarrow}^{\dagger} \\ f_{\uparrow\downarrow}^{\dagger} & f_{\downarrow\downarrow}^{\dagger} & g_{\downarrow\uparrow}^{\dagger} & g_{\downarrow\downarrow}^{\dagger} \end{pmatrix}, \quad (2)$$

می‌باشد. عنصرهای قطری این ماتریس که با g و f نشان داده شده‌اند، تابع‌های گرین عادی و عنصرهای غیرقطري آن که

۱. Numbu \otimes Spin

به داخل محیط فرومغناطیس تنها به مؤلفه‌های $f_{\downarrow\downarrow}$ ، $f_{\uparrow\downarrow}$ و $f_{\downarrow\uparrow}$ از ماتریس تابع گرین معادله (۲)، در ناحیه فرومغناطیس نیازمند هستیم. این عنصرها برای حالت جفت شدگی یک‌تایی در ابررسانا به صورت

$$f_{\uparrow\downarrow} = \frac{2d_- \exp[2\omega_-(\tau_0 - \tau)]}{(\Omega_n + \omega_n) \exp(2\omega_- \tau_0) + (\Omega_n - \omega_n)}, \quad (4)$$

$$f_{\downarrow\uparrow} = \frac{2d_+ \exp[2\omega_+(\tau_0 - \tau)]}{(\Omega_n + \omega_n) \exp(2\omega_+ \tau_0) + (\Omega_n - \omega_n)}, \quad (5)$$

$$f_{\uparrow\uparrow} = f_{\downarrow\downarrow} = 0, \quad (6)$$

می‌باشدند. در این رابطه‌ها $\Omega_n = \sqrt{\omega_n^2 + d_-^2}$ و $\omega_{\pm} = \omega_n \pm ih$ معرفی و استفاده شده‌اند. همان طور که انتظار می‌رفت، ملاحظه می‌شود که حالت‌های سه‌تایی در این سیستم حضور ندارند. برای

حالات جفت شدگی سه‌تایی از نوع OSP نیز رابطه‌های

$$f_{\uparrow\downarrow} = \frac{2d_- \exp[2\omega_-(\tau_0 - \tau)]}{(\Omega_n + \omega_n) \exp(2\omega_- \tau_0) + (\Omega_n - \omega_n)}, \quad (7)$$

$$f_{\downarrow\uparrow} = \frac{2d_+ \exp[2\omega_+(\tau_0 - \tau)]}{(\Omega_n + \omega_n) \exp(2\omega_+ \tau_0) + (\Omega_n - \omega_n)}, \quad (8)$$

$$f_{\uparrow\uparrow} = f_{\downarrow\downarrow} = 0, \quad (9)$$

به دست می‌آیند که مثل حالت قبلی نشان دهنده عدم حضور

حالات‌های سه‌تایی در سیستم می‌باشند. همچنین برای

جفت‌شدگی سه‌تایی ESP نتیجه‌های

$$f_{\uparrow\uparrow} = \frac{-2(d_- - id_-) \exp[2\omega_n(\tau_0 - \tau)]}{(\Omega_n + \omega_n) \exp(2\omega_n \tau_0) + (\Omega_n - \omega_n)}, \quad (10)$$

$$f_{\downarrow\downarrow} = \frac{2(d_+ + id_+) \exp[2\omega_n(\tau_0 - \tau)]}{(\Omega_n + \omega_n) \exp(2\omega_n \tau_0) + (\Omega_n - \omega_n)}, \quad (11)$$

$$f_{\uparrow\downarrow} = f_{\downarrow\uparrow} = 0, \quad (12)$$

حاصل می‌شوند. در این وضعیت، برخلاف دو حالت قبلی،

حالات‌ای یک‌تایی در سیستم حضور ندارند.

میزان نفوذ پارامتر نظم ابررسانایی در حالات‌های مختلف

جفت‌شدگی ابررسانایی توسط تابع‌های

$$F_{s_0} = \sum_n \langle (f_{\uparrow\downarrow} + f_{\downarrow\uparrow}) \rangle, \quad (13)$$

$$F_{t_0} = \sum_n \langle (f_{\uparrow\downarrow} - f_{\downarrow\uparrow}) \rangle, \quad (14)$$

$$F_{t_1} = \sum_n \langle (f_{\uparrow\uparrow} + f_{\downarrow\downarrow}) \rangle, \quad (15)$$

داده می‌شود که تابع‌های دامنه جفت ابررسانایی نامیده می‌شوند. اندیس‌های s_0 ، t_0 و t_1 در این رابطه‌ها، به ترتیب نشان دهنده

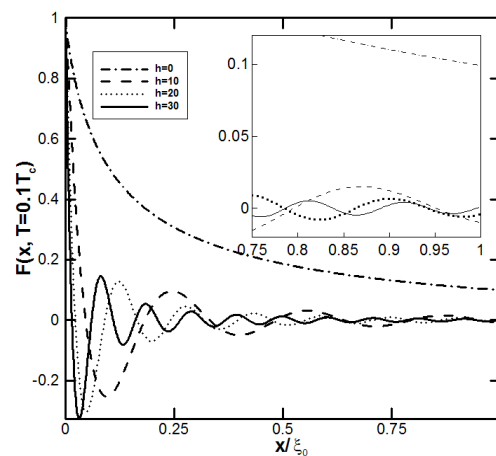
شرط‌ها رفتار تابع گرین ماتریسی را در حین عبور از فصل مشترک و همچنین مقدارهای تعادلی آن را در عمق توده ابررسانا، برای هر مسیر کلاسیکی، تعیین می‌کنند. نقطه‌های روی مسیر کلاسیکی را با پارامتر زمانی τ مشخص می‌کنیم. تابع گرین ماتریسی در ابتدا و انتهای مسیر $\tau = \pm\infty$ به سمت مقدار توده خود، که با \check{G}_{bulk} نشان داده می‌شود، میل می‌کند. هر مسیر کلاسیکی، فصل مشترک دو ناحیه را در نقطه‌های $\tau = 0$ و $\tau = l/v_F$ قطع می‌کند که l/v_F طول مسیر پیموده شده داخل فرومغناطیس است. برای سادگی فصل مشترک دو محیط را به طور ایده‌آل شفاف در نظر می‌گیریم. در این حالت شرط‌های مرزی به پیوستگی تابع گرین ماتریسی در تمامی نقطه‌های فصل مشترک کاهش می‌یابند. در واقع، تمامی عنصرهای ماتریس تابع گرین در نقطه‌های روی فصل مشترک، $\tau = 0$ ، باید پیوسته باشند. با اعمال این شرط‌های مرزی می‌توان تمامی مؤلفه‌های ماتریس تابع گرین را در ناحیه‌های ابررسانا و فرومغناطیس محاسبه نمود [۵].

معادله آیلنبرگر (۱) در هر کدام از ناحیه‌های ابررسانا و فرومغناطیس به صورت شانزده معادله دیفرانسیل خطی مرتبه اول با شانزده مجھول (عنصرهای ماتریس تابع گرین) می‌باشد. این معادله‌ها در ناحیه‌های ابررسانا بر روی مسیر کلاسیکی جفت شده هستند. برای حل آنها ابتدا جواب را با اعمال قید مستقل بودن آن از τ در ابتدا و انتهای مسیر، در عمق توده ابررسانا ($\tau \rightarrow \pm\infty$) و دور از فصل مشترک $\tau = 0$ ، به دست می‌آوریم. جواب عمومی در ناحیه ابررسانا را به صورت مجموع \check{G}_{bulk} و جمله‌ای نمایی با ضریبی دلخواه که در $\tau \rightarrow \pm\infty$ به صفر میل می‌کند معرفی کرده و سازگاری آن را با معادله‌های آیلنبرگر اعمال می‌کنیم. در ناحیه فرومغناطیس، به خاطر قید $\tau = \Delta$ ، مؤلفه‌های معادله آیلنبرگر جفت شده نیستند و به راحتی قابل حل می‌باشند. با اعمال شرط مرزی در فصل مشترک $\tau = 0$ تمامی ضریب‌های مجھول در ماتریس‌های تابع گرین محاسبه می‌گردند. ما این محاسبه‌ها را برای سه حالتی که در آنها جفت‌شدگی در ناحیه ابررسانا به صورت یک‌تایی، سه‌تایی و OSP سه‌تایی ESP باشند، انجام داده‌ایم.

به منظور بررسی میزان نفوذ این سه نوع جفت‌شدگی

جهت به دست آوردن و رسم تابع‌های دامنه جفت ابرسانایی (معادله‌های (۱۳) تا (۱۵)) در شکل ۲، نتیجه‌های مهمی حاصل می‌شوند. رابطه‌های (۴) تا (۹)، (۱۳) و (۱۴) نشان می‌دهند که نفوذ همبستگی‌های ابرسانایی سه‌تایی OSP به داخل یک فلز عادی یا فرومغناطیس با نفوذ همبستگی‌های ابرسانایی یک‌تایی به داخل همان فلز یکسان می‌باشد. همچنین، معادله‌های (۴) تا (۶) و (۱۰) تا (۱۲) به همراه رابطه‌های (۱۳) و (۱۵) نشان می‌دهند که نفوذ همبستگی‌های سه‌تایی ESP به داخل یک فلز عادی یا فرومغناطیس، با نفوذ همبستگی‌های یک‌تایی ابرسانایی به داخل یک فلز عادی یکسان می‌باشد. با توجه به شکل ۲ ملاحظه می‌کنیم که نفوذ همبستگی‌های سه‌تایی ESP به داخل فلزهای عادی یا فرومغناطیس، نسبت به نفوذ همبستگی‌های یک‌تایی و سه‌تایی OSP، نفوذی بلندبردتر می‌باشد. این نفوذ فقط تابع دما است و به میدان تبادلی h فلز فرومغناطیس بستگی ندارد. بنابراین با توجه به این نتیجه‌ها، در ادامه، نحوه نفوذ همبستگی‌های ابرسانایی یک‌تایی را به داخل فلزهای عادی و فرومغناطیس مورد بررسی قرار می‌دهیم.

شکل ۲ در مورد یک ابرسانایی یک‌تایی با ضخامت $D = v_F / \Delta$ رسم شده است که طول همدوسي $\xi = k_B T = \hbar = 1$ گردند. در داخل فلز عادی، تابع دامنه جفت همبستگی‌های یک‌تایی در نزدیکی فصل مشترک با دامنه‌ای از مرتبه طول همدوسي فلز عادی، N ، به صورت نمایی برحسب فاصله از فصل مشترک افت می‌کند. طول همدوسي فلز عادی، $v_F / T = N$ ، مستقل از میدان تبادلی h نفوذ فرومغناطیس است و فقط تابعی از دما می‌باشد. این نفوذ همبستگی‌های یک‌تایی به داخل فلزهای عادی، در مقایسه با نفوذ آنها به داخل فلزهای فرومغناطیس با میدان تبادلی $h \neq 0$ ، نفوذی بلندبردتر است. در داخل ناحیه فرومغناطیس، تابع دامنه نفوذی ابرساناهای یک‌تایی به شدت به میدان تبادلی بستگی دارد. تابع دامنه جفت در داخل محیط فرومغناطیس، علاوه بر افت نمایی با دوره تنابی از مرتبه $h = v_F / h$ و دامنه‌ای میرا برحسب x نوسان می‌کند. با افزایش میدان تبادلی،



شکل ۲. نمودار تابع دامنه جفت ابرسانایی یک‌تایی برحسب فاصله از فصل مشترک، برای مقدارهای مختلف میدان تبادلی در دما $T = 0 / T_c$ به ازای $\xi = D$ برای ضخامت لایه فرومغناطیس. مقدارهای میدان تبادلی h در این شکل برحسب پارامتر گاف ابرسانایی در دما صفر، یعنی Δ ، آمده‌اند.

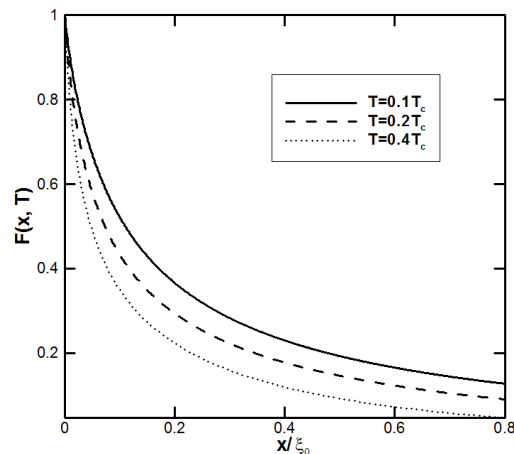
جفت‌شده‌گی‌های یک‌تایی، سه‌تایی OSP و سه‌تایی ESP می‌باشند. علامت (۰۰۰) به معنی میانگین گیری روی کل مسیرهای کلاسیکی ممکن و یا روی جهت‌های مختلف بردار سرعت فرمی است. این تابع‌ها به مقدارشان در فصل مشترک بهنجار می‌گردند.

در شکل ۲ نمودار تغییرهای تابع دامنه جفت ابرسانایی در داخل ناحیه فرومغناطیس برحسب فاصله از فصل مشترک x ، رسم شده است. مختصه x در امتداد محوری عمود بر فصل مشترک معرفی می‌گردد به طوری که $x = 0$ و $x = D$ به ترتیب با نقطه‌های داخل ابرسانا، روی فصل مشترک و داخل ناحیه فرومغناطیس متناظر هستند. این نمودارها به ازای دما $T = 0 / T_c$ رسم شده‌اند و مقدار میدان تبادلی h فرومغناطیس از مرتبه 10Δ انتخاب گردیده است که پارامتر گاف ابرسانایی در دما صفر می‌باشد.

با توجه به رابطه‌های مربوط به عنصرهای ماتریس تابع گرین $f_{\downarrow\downarrow}$ ، $f_{\downarrow\uparrow}$ ، $f_{\uparrow\downarrow}$ و $f_{\uparrow\uparrow}$ برای سه نوع جفت‌شده‌گی (معادله‌های (۴) تا (۱۲)) و انجام دادن محاسبه‌های عددی لازم

می‌دهد که با افزایش دما، تابع دامنه جفت ابررسانایی نفوذی به داخل محیط‌های عادی یا فرومغناطیس کاهش می‌یابد و به عبارتی این نفوذ ضعیفتر می‌گردد.

اثر مجاورت ابررسانایی در یک ساختار ابررسانا-فلز عادی یا فرومغناطیس تمیز برای جفت‌شدگی‌های ابررسانایی یک‌تایی، سه‌تایی OSP و سه‌تایی ESP بررسی شده است. با استفاده از رهیافت تابع گرین شبکه‌کلاسیکی، میزان نفوذ این سه نوع همبستگی‌ها به داخل یک فلز عادی یا فرومغناطیس محاسبه شده و با هم مقایسه شده‌اند. نشان داده شده است که از این لحاظ، همبستگی‌های ابررسانایی سه‌تایی OSP با همبستگی‌های ابررسانایی یک‌تایی معادل می‌باشند. همچنان، همبستگی‌های سه‌تایی ESP در داخل یک فلز عادی یا فرومغناطیس رفتاری معادل با رفتار همبستگی‌های یک‌تایی ابررسانایی در داخل یک فلز عادی دارد. نفوذ همبستگی‌های سه‌تایی ESP به داخل فلزهای فرومغناطیس، در مقایسه با نفوذ همبستگی‌های یک‌تایی و سه‌تایی OSP، نفوذی بلندبردتر می‌باشد. این نفوذ دمایی است و با افزایش دما ضعیفتر می‌گردد.



شکل ۳. نمودار تابع دامنه جفت ابررسانایی نفوذکننده به داخل یک فلز عادی با ضخامت $D = 0.1, 0.2, 0.4$ در دمای $T/T_c = 0.1, 0.2, 0.4$ بر حسب فاصله از فصل مشترک.

دوره تناوب نوسان‌ها کوچک‌تر می‌شود و نوسان‌های تابع دامنه جفت سریع‌تر می‌شوند.

در یک ابررسانا پارامتر نظم تابعی از دما است و با افزایش دما کاهش می‌یابد، به طوری که در دمای بحرانی برابر صفر می‌شود. در شکل ۳ نمودار تابع دامنه جفت ابررسانایی نفوذ کننده به داخل یک فلز عادی (معادله‌های (۱۳) تا (۱۵))، به ازای مقدارهای مختلف دما، $T/T_c = 0.1, 0.2, 0.4$ ، بر حسب فاصله از فصل مشترک رسم شده است. این نمودار نشان

7. E A Demler, G B Arnold, and M R Beasley, *Phys. Rev. B* **55** (1997) 15174.
8. G. Eilenberger, *Z Phys.* **214** (1968) 195.
9. Y Rahnavard and G R Rashedi, *Iranian Journal of Physics Research* **10**, 2 (2010) 141.
10. F S Bergeret, A F Volkov, and K B Efetov, *Phys. Rev. Lett.* **86** (2001) 4096.
11. B J Powell, J F Annett, and B L Györfffy, *J. Phys. A* **36** (2003) 9289.
12. A Brataas and Y Tserkovnyak, *Phys. Rev. Lett.* **93** (2004) 087210.

1. A I Buzdin, *Rev. Mod. Phys.* **77** (2005) 935.
2. W Belzig, F K Willhelm, C Bruder, G Schön, and A D Zaikin, *Superlatt. Microstruct.* **25** (1999) 1251.
3. M Zareyan, W Belzig, and Yu V Nazarov, *Phys. Rev. Lett.* **86** (2001) 308.
4. M Zareyan, W Belzig, and Yu V Nazarov, *Phys. Rev. B* **65** (2002) 184505.
5. M A Maleki and M Zareyan, *Phys. Rev. B* **74** (2006) 144512.
6. K Halterman and O T Valls, *Phys. Rev. B* **66** (2002) 224516.